

Morphologie de la vuagnatite

Autor(en): **Deferne, Jacques / Sarp, Halil**

Objektyp: **Article**

Zeitschrift: **Archives des sciences [1948-1980]**

Band (Jahr): **31 (1978)**

Heft 1

PDF erstellt am: **12.07.2024**

Persistenter Link: <https://doi.org/10.5169/seals-739415>

Nutzungsbedingungen

Die ETH-Bibliothek ist Anbieterin der digitalisierten Zeitschriften. Sie besitzt keine Urheberrechte an den Inhalten der Zeitschriften. Die Rechte liegen in der Regel bei den Herausgebern.

Die auf der Plattform e-periodica veröffentlichten Dokumente stehen für nicht-kommerzielle Zwecke in Lehre und Forschung sowie für die private Nutzung frei zur Verfügung. Einzelne Dateien oder Ausdrucke aus diesem Angebot können zusammen mit diesen Nutzungsbedingungen und den korrekten Herkunftsbezeichnungen weitergegeben werden.

Das Veröffentlichen von Bildern in Print- und Online-Publikationen ist nur mit vorheriger Genehmigung der Rechteinhaber erlaubt. Die systematische Speicherung von Teilen des elektronischen Angebots auf anderen Servern bedarf ebenfalls des schriftlichen Einverständnisses der Rechteinhaber.

Haftungsausschluss

Alle Angaben erfolgen ohne Gewähr für Vollständigkeit oder Richtigkeit. Es wird keine Haftung übernommen für Schäden durch die Verwendung von Informationen aus diesem Online-Angebot oder durch das Fehlen von Informationen. Dies gilt auch für Inhalte Dritter, die über dieses Angebot zugänglich sind.

MORPHOLOGIE DE LA VUAGNATITE

PAR

Jacques DEFERNE ¹ et Halil SARP ¹

INTRODUCTION

La vuagnatite a été découverte par l'un d'entre nous (H. Sarp) au cours d'une étude pétrographique effectuée dans une zone ophiolitique du Taurus au sud-ouest de la Turquie. Nous ne reviendrons pas sur les propriétés physiques, optiques et structurales de ce minéral qui ont déjà été décrites ailleurs. Rappelons toutefois que la vuagnatite est orthorhombique et que les paramètres de la maille élémentaire sont:

$$a = 7.055, b = 8.542, c = 5.683.$$

Depuis sa découverte, la présence de ce minéral a déjà été signalée dans plusieurs gisements. En Californie, à Red Mountain, Mendocino County, on avait déjà signalé depuis longtemps la présence d'un minéral inconnu qui s'est révélé être de la vuagnatite, par la suite. Dans ce gisement on rencontre de la vuagnatite idiomorphe le long des fissures d'un gabbro tectonisé et complètement altéré. Nous avons eu l'occasion d'acquérir un échantillon de cette roche à la bourse aux minéraux de Zürich de novembre 1976.

L'étude microscopique de la roche a montré qu'elle se composait essentiellement de vuagnatite et de chlorite. En voici une description sommaire:

vuagnatite, en sections allotriomorphes à subidiomorphes, formant environ 40 à 50% de la roche.

chlorite constituant pratiquement l'autre moitié de la roche. On peut reconnaître trois types de chlorite qui sont, par ordre d'importance décroissante:

chlorite Mg-Fe (Mg > Fe)

chlorite Fe-Mg (Fe > Mg)

chlorite Mg.

hydrogrossulaire accompagnant par endroits la vuagnatite.

¹ Muséum d'histoire naturelle, route de Malagnou, 1211 Genève 6.

obliques. Nous avons alors calculé théoriquement, à partir des données radiocristallographiques, les angles entre diverses faces appartenant à ces zones, puis nous avons comparé ces valeurs avec celles mesurées au goniomètre.

Les formes les plus fréquentes que nous avons observées sont $\{110\}$, $\{011\}$, $\{010\}$ et $\{111\}$, puis viennent les formes $\{101\}$, $\{120\}$, $\{100\}$ et $\{031\}$. Plus rarement on rencontre $\{121\}$, $\{021\}$, $\{201\}$ et $\{301\}$.

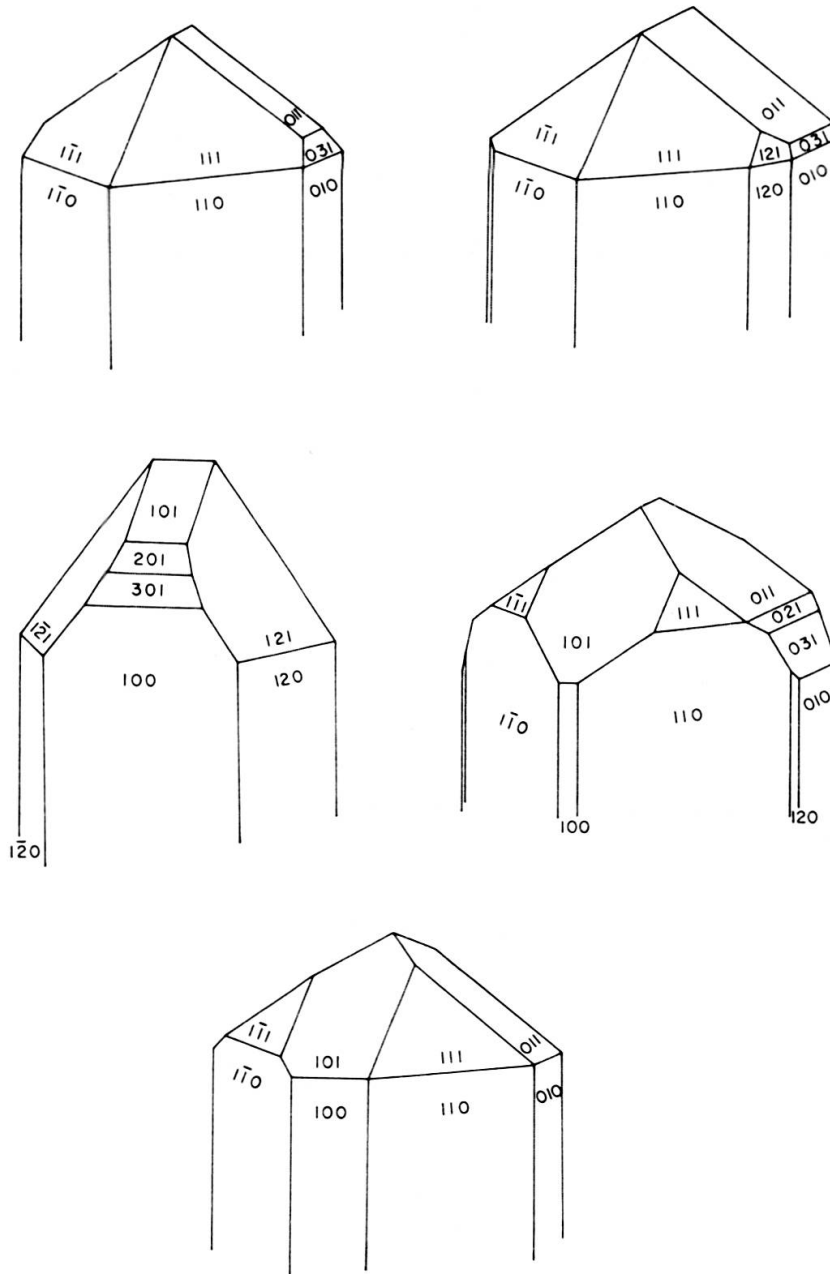


FIG. 2. — Formes idéalisées de cinq cristaux de vuagnatite de Red Mountain, Mendocino County, Californie. Toutes les faces ont été observées et leur orientation mesurée à l'aide d'un goniomètre à deux cercles.

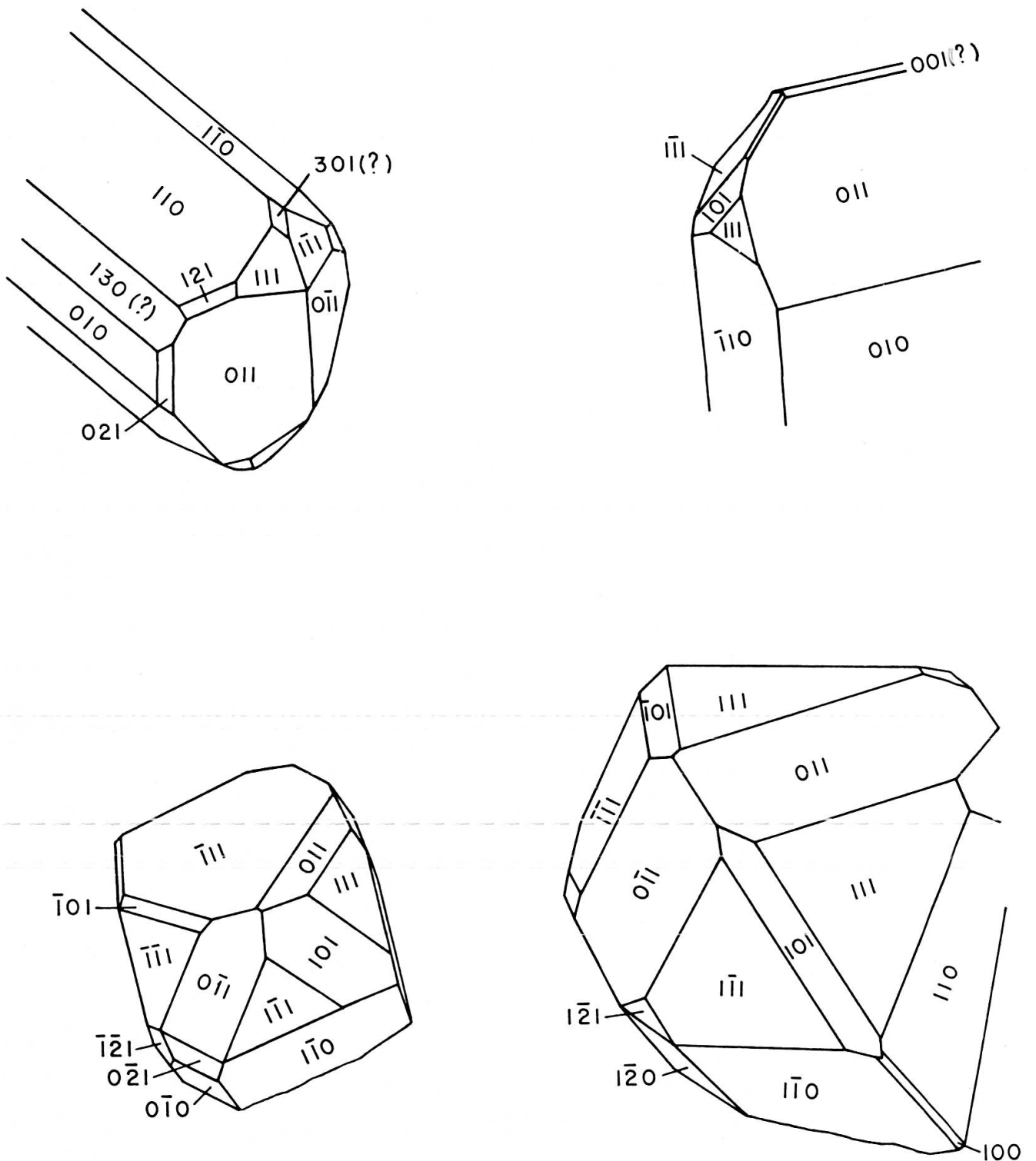


FIG. 3. — Indices des faces des cristaux de la planche ci-contre. Ces indices ont été déterminés par comparaison avec les cristaux examinés au goniomètre.

Par comparaison nous avons indiqué les faces de 4 autres cristaux sur des photographies obtenues au microscope électronique à balayage. Les fréquences des faces observées sur ces derniers cristaux sont pratiquement les mêmes que celles citées plus haut. Le tableau ci-dessous résume ces observations.

TABLEAU I

Fréquence des formes observées sur 9 cristaux de vuagnatite.

Indices des faces	110	011	101	010	111	120	100	021	121	201	001	031	301	130
Fréquence obs. sur cristaux n ^{os} 1 à 5 ¹	4	4	3	4	4	3	3	1	2	1	—	3	1	—
Fréquence obs. sur cristaux n ^{os} 6 à 9 ²	4	4	3	4	4	2	1	2	3	—	1 (?)	—	1	1 (?)
Total:	8	8	6	8	8	5	4	3	5	1	1 (?)	3	2	1 (?)

Indicement effectué à l'aide du goniomètre.

¹ Indices estimés sur les photos prises au microscope à balayage par comparaison avec l'observation sur les cristaux n^{os} 1 à 5.

Les formes les plus fréquentes correspondent aux plans de grande densité réticulaire. Pour mettre en évidence cette règle, nous avons mis les indices des faces par ordre de distance réticulaire décroissante sur le tableau I.

MORPHOLOGIE DE LA VUAGNATITE

La vuagnatite forme des prismes trapus, allongés dans la direction de l'axe Z. Les sections des prismes montrent également un léger allongement dans la direction de X. Presque tous les cristaux observés montrent les faces prismatiques (110) et (010) bien développées, de même que les faces du dôme (011). Les faces de la zone parallèle à [100] sont plus fréquentes que celles de la zone parallèle à [010]. Sur tous les cristaux observés, le sphénoèdre (111) était conjugué avec son homologue ($1\bar{1}1$), masquant ainsi le caractère holoaxe du minéral. Le sphénoèdre (121) est plus rare. Il est également souvent conjugué avec ($1\bar{2}1$). Sur deux individus le sphénoèdre (121) était seul présent, marquant alors l'hémiédrie holoaxe de la vuagnatite.

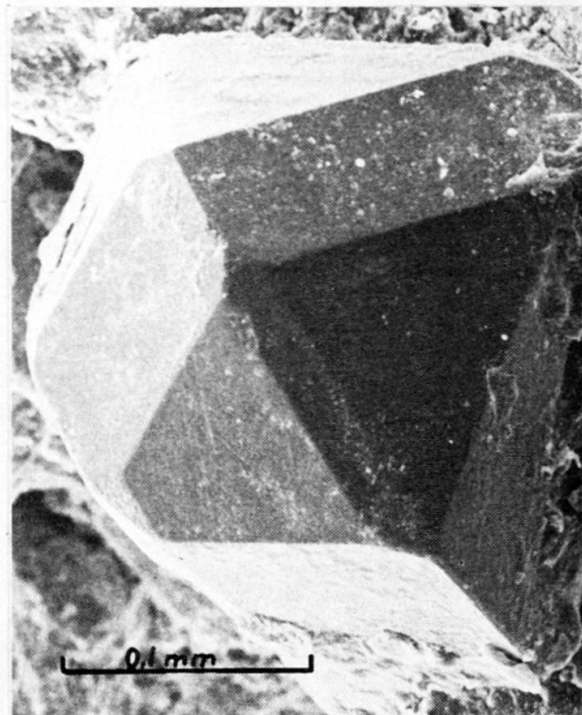
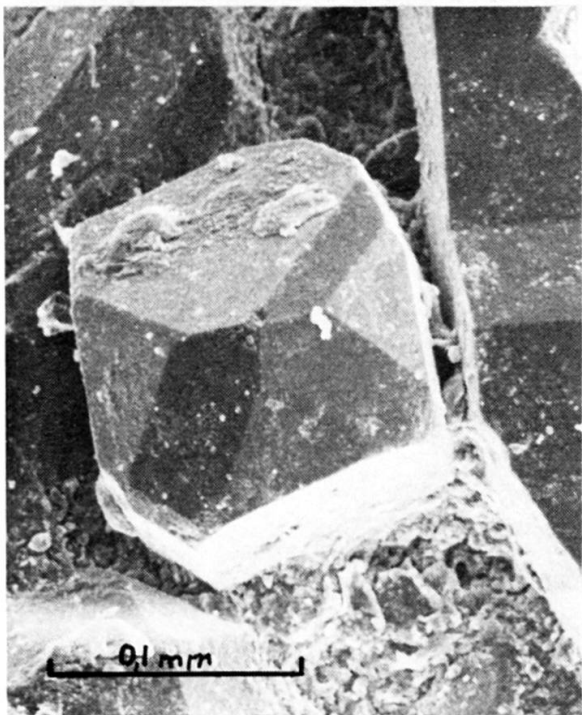
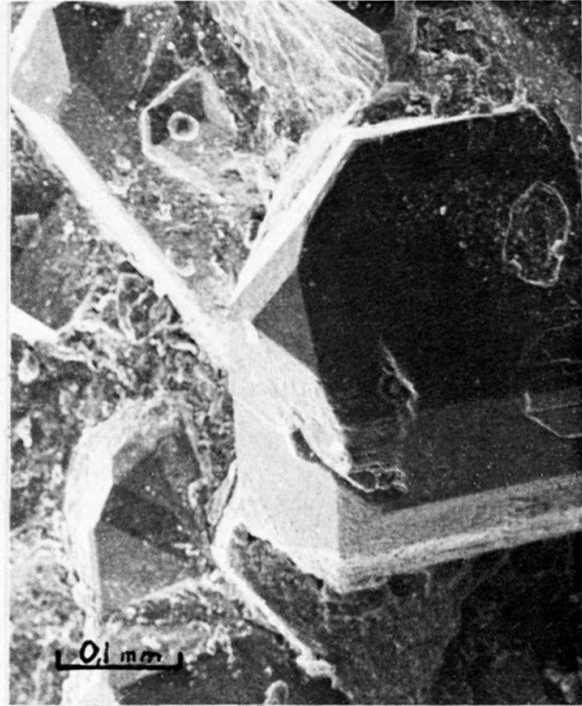
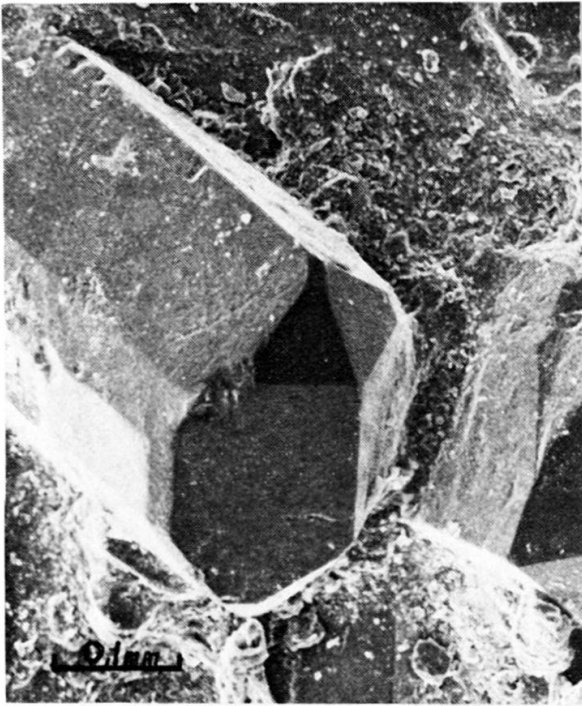
Parmi les 9 cristaux observés, un seul a montré un habitus un peu différent des autres. Il s'agit du cristal c de la figure 2 qui, à la place des faces habituelles (110), (010) et (111), montre un développement marqué des faces (100), (120), (121) ainsi que celles de la zone parallèle à Y. Nous avons tout d'abord pensé que nous avions

confondu l'axe X avec Y, mais une deuxième mesure reprise au goniomètre a bien confirmé notre première observation.

Les 5 cristaux étudiés au goniomètre ont été dessinés en obéissant aux conventions internationales pour l'orientation des axes. Ce sont les dessins de la figure 2. Toutes les faces identifiées au goniomètre figurent sur la projection stéréographique de la figure 1.

BIBLIOGRAPHIE

- MATSUBARA, Satoshi, Akira KATO and Kin-ichi SAKURAI (1977). The occurrence of vuagnatite from Shiraki, Toba, Mie Prefecture, Japan. *Bull. Nat. Sc. Mus., Ser. C (Geol)*, 3 (2), June 22.
- MC NEAR, Elisabeth, G. Michael VINCENT and Erwin PARTHE (1976). The crystal structure of vuagnatite, $\text{CaAl}(\text{OH})\text{SiO}_4$. *Am. Mineral.* 61, 831-838.
- PABST, Adolf, C. Richard ERD, Fraser GOFF and Leo ROSENHAHN (1977). Vuagnatite from California. *The Mineral Record*, vol. 8, 6, 497-501.
- SARP, Halil, Jean BERTRAND and Elisabeth MC NEAR (1976). Vuagnatite, $\text{CaAl}(\text{OH})\text{SiO}_4$, a new natural calcium aluminium nesosilicate. *Am. Mineral.* 61, 825-830.



Cristaux de vugnatite de Red Mountain, Mendocino County, Californie.
(Photos prises au microscope électronique à balayage du Muséum de Genève
par le D^r Jean Wüest).

